

Модель фазового экрана для численного моделирования распространения лазерного пучка в дожде

И.П.Лукин, Д.С.Рычков, А.В.Фалиц, Лай Кин Сенг, Лю Мин Ронг

Предложен метод численного моделирования распространения лазерного излучения в турбулентной атмосфере при выпадении дождя, основанный на обобщении метода фазовых экранов для сплошной случайно-неоднородной среды. В модели фазового экрана для дискретной компоненты гетерогенной среды «воздух – капли дождя» амплитудный экран, описывающий рассеяние оптического поля на дискретных частицах среды, заменен эквивалентным фазовым экраном, обладающим спектром корреляционной функции флуктуаций эффективной диэлектрической проницаемости, сходным со спектром дискретной рассеивающей компоненты – капель воды в воздухе. «Турбулентный» фазовый экран построен на основе модели Колмогорова, а в модели «дождевого» экрана используется экспоненциальное распределение числа капель дождя по величине их радиусов в зависимости от интенсивности дождя. Результаты численного моделирования сравниваются с известными теоретическими оценками для крупномасштабной дискретной рассеивающей среды.

Ключевые слова: лазерный пучок, рассеяние излучения в дожде, фазовый экран, численное моделирование.

1. Введение

При распространении в атмосфере лазерные пучки испытывают фазовые искажения вследствие флуктуаций диэлектрической проницаемости среды. Эти флуктуации связаны не только с турбулентными неоднородностями плотности воздуха, но и с наличием в атмосфере дискретной составляющей: частиц аэрозоля, тумана, атмосферных осадков [1–4]. Рассеяние лазерного излучения на каплях дождя приводит, как и в турбулентной атмосфере, к уширению пучка и появлению в нем флуктуаций интенсивности [4]. Кроме того, происходит ослабление интенсивности излучения за счет поглощения на дискретных рассеивателях [4, 5].

Ранее уже проводились экспериментальные и теоретические исследования статистических характеристик поля лазерного пучка, распространяющегося в дожде [4–12]. Так же как и в случае турбулентной атмосферы, распространение лазерных пучков в дожде может быть описано в параболическом приближении скалярного волнового уравнения [13]. Совместное воздействие турбулентных и дискретных (капли воды) неоднородностей атмосферы на поле лазерного пучка изучено менее подробно как из-за математических трудностей, возникающих при исследовании свойств пучка в переходной области значений индекса мерцаний плоской волны [11], так и вследствие недостатка экспериментальных данных, что связано уже со сложностью разделения влияния турбулентности и рассеяния в дожде на характеристики

оптического излучения [7–8]. В настоящее время продолжается развитие методов численного моделирования [14–17], широко применяется метод фазовых экранов [14–16]. В работе [17] рассмотрены корпускулярный и волновой подходы к статистическому моделированию распространения лазерного излучения в дискретных рассеивающих средах. Одним из вопросов, который необходимо разрешить при реализации метода расщепления, является определение функции рассеяния оптического излучения одной частицы [17].

В настоящей работе предлагается модель фазового экрана, учитывающего рассеяние на дискретных рассеивателях в турбулентной среде. Исходя из экспоненциального закона распределения числа капель воды по размерам с учетом его зависимости от интенсивности дождя [1], получены формулы для спектра корреляционной функции флуктуаций эффективной диэлектрической проницаемости дискретной компоненты турбулентной атмосферы при выпадении дождя. Для турбулентной компоненты принята модель Колмогорова, учитывающая влияние внутреннего масштаба неоднородностей [18]. Представлены результаты численного моделирования распространения лазерного пучка на трассе в турбулентной атмосфере при выпадении дождя, проведено сравнение с известными теоретическими оценками.

2. Спектр корреляционной функции флуктуаций эффективной диэлектрической проницаемости атмосферы с осадками

В мороси и дожде всегда выполняются условия, когда длина волны λ оптического излучения много меньше характерного масштаба дискретных неоднородностей среды – капель воды. Распространение монохроматического излучения (лазерного пучка) в крупномасштабной случайно-неоднородной среде можно описывать параболическим уравнением [4, 18]

И.П.Лукин, Д.С.Рычков, А.В.Фалиц. Институт оптики атмосферы СО РАН, Россия, 634055, Томск, просп. Академический, 1; e-mail: lukin_ip@iao.ru, dsr@iao.ru, falits@iao.ru
Lai Kin Seng, Liu Min Rong. DSO National Laboratories 20, Science Park Drive, Singapore 118230; e-mail: lkinseng@dso.org.sg, lminrong@dso.org.sg

Поступила в редакцию 25 декабря 2007 г., после доработки – 31 марта 2009 г.

$$2ik \frac{\partial U(\mathbf{r})}{\partial z} + \Delta_{\perp} U(\mathbf{r}) + k^2 \varepsilon(\mathbf{r}) U(\mathbf{r}) = 0. \quad (1)$$

Здесь $k = 2\pi/\lambda$ – волновое число; $\varepsilon(\mathbf{r})$ – диэлектрическая проницаемость среды; z – направление распространения; $(x, y) \equiv \boldsymbol{\rho}$ – поперечные координаты. Величина $U(\mathbf{r})$ представляет собой комплексную амплитуду поля $E(\mathbf{r})$ лазерного пучка:

$$E(\mathbf{r}) = U(\mathbf{r})e^{ikz},$$

$$U(\boldsymbol{\rho}, z=0) = U_0 \exp\left(-\frac{\rho^2}{2a_0^2} - \frac{ik\rho^2}{2F}\right), \quad (2)$$

где U_0 – амплитуда начального распределения гауссова пучка; a_0 – радиус пучка; F – радиус кривизны волнового фронта.

Эффективная диэлектрическая проницаемость $\varepsilon(\mathbf{r})$ рассматриваемой гетерогенной среды «воздух – капли воды» является комплексной величиной [9, 10]. Действительная ее часть связана с турбулентностью, а мнимая – с дискретными рассеивателями:

$$\varepsilon(\mathbf{r}) = \langle \varepsilon(\mathbf{r}) \rangle + \tilde{\varepsilon}(\mathbf{r}),$$

$$\langle \varepsilon(\mathbf{r}) \rangle = \text{Re}\langle \varepsilon(\mathbf{r}) \rangle + i \text{Im}\langle \varepsilon(\mathbf{r}) \rangle \cong 1 + i\langle \varepsilon_p(\mathbf{r}) \rangle, \quad (3)$$

$$\tilde{\varepsilon}(\mathbf{r}) = \text{Re} \tilde{\varepsilon}(\mathbf{r}) + i \text{Im} \tilde{\varepsilon}(\mathbf{r}) = \tilde{\varepsilon}_i(\mathbf{r}) + i\tilde{\varepsilon}_p(\mathbf{r}).$$

Спектр $\Phi_{\tilde{\varepsilon}_i}(\kappa_{\perp}, \kappa_z)$ корреляционной функции флуктуаций диэлектрической проницаемости $\tilde{\varepsilon}_i(\mathbf{r})$ определяется согласно модели Колмогорова – Обухова [18]:

$$\Phi_{\tilde{\varepsilon}_i}(\kappa_{\perp}, \kappa_z) = A_t C_{\varepsilon}^2 (\kappa_0^2 + \kappa_z^2 + \kappa_{\perp}^2)^{-11/6}$$

$$\times \exp\left\{-\left[(\kappa_{\perp}^2 + \kappa_z^2)/\kappa_m^2\right]\right\}, \quad (4)$$

где C_{ε}^2 – структурная константа поля флуктуаций диэлектрической проницаемости воздуха; κ_{\perp}, κ_z – спектральные координаты; $\kappa_0 = 2\pi/L_0$; $\kappa_m = 5.92/l_0$; L_0 и l_0 – внешний и внутренний масштабы неоднородностей среды. О константе A_t речь пойдет ниже.

Компонента $\tilde{\varepsilon}_p(\mathbf{r})$ диэлектрической проницаемости системы «воздух – капли воды», связанная с дискретными рассеивателями, определяется в первую очередь распределением $p(a_p, J)$ радиусов капель a_p в зависимости от интенсивности дождя J согласно закономерности Лой – Парсонса [1–4]:

$$p(a_p, J) = M_0(J) \exp(-A(J)a_p), \quad (5)$$

где $M_0(J) = 4.382 \times 10^6 J^{0.112} \text{ м}^{-4}$; $A(J) = 5932 J^{-0.182} \text{ м}^{-1}$. Исходя из этого удобно исследовать статистические характеристики поля лазерного пучка, распространяющегося в дожде, как функции величины J . Спектр корреляционной функции $\Phi_{\tilde{\varepsilon}_p}(\boldsymbol{\kappa}, J)$ флуктуаций $\varepsilon_p(\mathbf{r})$ согласно [10] имеет следующий вид:

$$\Phi_{\tilde{\varepsilon}_p}(\boldsymbol{\kappa}, J) = \frac{2}{\pi k^4} \int_0^{\infty} da_p p(a_p, J) |f_0(\boldsymbol{\kappa}, a_p)|^2, \quad (6)$$

где $f_0(\boldsymbol{\kappa}, a_p)$ – амплитуда рассеяния волны на отдельной частице радиусом a_p . Поскольку капли мороси или дождя велики по сравнению с длиной волны λ , то в

качестве амплитуды рассеяния можно взять ее дифракционную часть [2, 3] и аппроксимировать (6) квадратичной экспонентой

$$\Phi_{\tilde{\varepsilon}_p}(\boldsymbol{\kappa}, J) = A_p C_p^2(J) \exp(-\kappa^2 a_m^2/4), \quad (7)$$

где

$$C_p^2(J) \cong 1.28 \times 10^{-12} J^{1.822} k^{-2} \quad (8)$$

– константа, аналогичная C_{ε}^2 ; a_m – масштаб неоднородностей среды, эквивалентной дискретной рассеивающей среде со средним радиусом капель a_m . Можно показать, что флуктуации $\tilde{\varepsilon}_p(\mathbf{r})$ связаны с объемным медианным радиусом капель [1, 4]

$$a_m = 6.19 \times 10^{-4} J^{0.182}, \quad (9)$$

а не со средним или среднеквадратичным радиусом. Среднее значение $\langle \varepsilon_p(\mathbf{r}) \rangle$ определяет величину оптической толщи

$$\tau = 2\pi z \int_0^{\infty} da a^2 p(a, J), \quad (10)$$

с которой связано ослабление интенсивности излучения в дискретной рассеивающей среде. В рамках принятых относительно спектра $\Phi_{\tilde{\varepsilon}_p}(\boldsymbol{\kappa}, J)$ приближений величина τ есть

$$kz \langle \varepsilon_p(\mathbf{r}) \rangle \cong \tau = 2.638 \times 10^{-4} z J^{0.658}. \quad (11)$$

Спектр корреляционной функции флуктуаций эффективной диэлектрической проницаемости среды «воздух – капли воды» есть сумма спектров (4) и (7):

$$\Phi_{\tilde{\varepsilon}}(\boldsymbol{\kappa}_{\perp}, \kappa_z, J) = \Phi_{\tilde{\varepsilon}_i}(\boldsymbol{\kappa}_{\perp}, \kappa_z) + \Phi_{\tilde{\varepsilon}_p}(\boldsymbol{\kappa}_{\perp}, \kappa_z, J). \quad (12)$$

Таким образом, мы заменили среду «воздух – капли воды» эквивалентной сплошной средой с характерными масштабами a_m, l_0, L_0 , в которой рассеяние излучения сопровождается его ослаблением, определяемым величиной τ . Такая замена позволяет в дальнейшем считать, что при выпадении осадков лазерный пучок распространяется в турбулентной атмосфере как в сплошной среде, и применять метод расщепления [15] к уравнению (1) при разработке алгоритма численного (статистического) моделирования.

3. Алгоритм моделирования распространения лазерного пучка в дожде

Уравнение распространения (1) в гетерогенной среде «воздух – капли воды» со спектром корреляционной функции (12) флуктуаций $\tilde{\varepsilon}(\mathbf{r})$ (3) имеет вид

$$2ik \frac{\partial U(z, \boldsymbol{\rho})}{\partial z} + \Delta_{\perp} U(z, \boldsymbol{\rho})$$

$$= -k^2 U(z, \boldsymbol{\rho}) \left[i \frac{\tau(z)}{kz} + \tilde{\varepsilon}_i(\boldsymbol{\rho}) + \tilde{\varepsilon}_p(\boldsymbol{\rho}) \right]. \quad (13)$$

Применение метода расщепления по физическим параметрам [15] для решения уравнения (13) приводит к разбиению трассы заданной длины L на слои, длина которых Δz удовлетворяет условиям слабого (тонкого) экрана:

$$\Delta z \ll 1, \beta_{0,pw}^2(\Delta z) \ll 1, \quad (14)$$

где $\beta_{0,pw}^2$ – дисперсия флуктуаций интенсивности плоской волны в первом приближении метода плавных возмущений (МПВ) для турбулентной среды [18]. В середине каждого слоя располагается амплитудно-фазовый экран, определяющий искажения прошедшего этот слой поля:

$$U(\Delta z, \rho) = U(0, \rho) \times \exp\left(\frac{ik}{2} \int_0^{\Delta z} \frac{i\tau(z)}{kz} dz\right) \exp[i\Psi_t(\rho) - \Psi_p(\rho)], \quad (15)$$

где $U(0, \rho)$ – падающее поле; $U(\Delta z, \rho)$ – поле, прошедшее слой; $\Psi_t(\rho)$ – случайный набег фазы при рассеянии на турбулентных неоднородностях; $\exp[-\Psi_p(\rho)]$ – случайное изменение амплитуды поля, вызванное дискретными рассеивателями. Величина

$$\exp\left(-\frac{k}{2} \int_0^{\Delta z} \frac{\tau(z) dz}{kz}\right) = \exp\left(-\frac{\tau(\Delta z)}{2}\right) \quad (16)$$

определяет ослабление поля дискретной рассеивающей компонентой среды. Таким образом, влияние дискретной компоненты случайной среды на лазерный пучок, прошедший слой Δz , определяется амплитудным экраном

$$\exp[-\tau(\Delta z)/2 - \Psi_p(\rho)]. \quad (17)$$

В работе [12] была показана возможность замены множителя $\exp[-\Psi_p(\rho)]$ на эквивалентный фазовый экран $\exp[i\Psi_p(\rho)]$, где $\Psi_p(\rho)$ – случайный набег фазы, приобретаемый волной при прохождении слоя, такой, что случайное смещение $\exp[-\Psi_p(\rho)]$ реализуется при последующей дифракции поля за экраном. Такая замена допустима в силу условия (14) для слабого (тонкого) экрана. Поскольку $\tau(\Delta z)$ не зависит от поперечных координат, то общее ослабление лазерного пучка, прошедшего трассу длиной L , можно определить множителем $\exp[-\tau(L)/2]$ после выполнения всех шагов Δz по трассе, состоящих в последовательном умножении поля на фазовый экран и в свободной дифракции поля между экранами. Генерация двумерного ($N \times N$) фазового экрана осуществляется по формуле

$$\Psi(j\Delta x, l\Delta y, J) = \sum_{n=-\frac{N}{2}}^{\frac{N}{2}-1} \sum_{m=-\frac{N}{2}}^{\frac{N}{2}-1} (\xi_{nm} + i\zeta_{nm}) \exp\left[2\pi i \left(\frac{jn + lm}{N}\right)\right] \times \left\{ \frac{\Phi_\Psi(n/N\Delta x, m/N\Delta y, J)}{N^2 \Delta x \Delta y} \right\}^{1/2}, \quad (18)$$

где $\Delta x, \Delta y$ – расстояния между узлами; N – число узлов; (ξ, ζ) – случайные последовательности, имеющие равное нулю среднее и равную единице дисперсию; спектр корреляционной функции фазы $\Phi_\Psi(\kappa_\perp, J)$ связан со спек-

тром корреляционной функции флуктуаций диэлектрической проницаемости соотношением [14–16]

$$\Phi_\Psi(\kappa_\perp, J) = \frac{k^2 \Delta z}{4} \Phi_\varepsilon(\kappa_\perp, 0, J). \quad (19)$$

Теперь определим константы A_t и A_p в выражениях для спектров (4) и (7), сохраняя связь между параметром C_ε^2 (или $C_p^2(J)$) с одной стороны и дисперсией флуктуаций интенсивности σ_I^2 с другой в том же виде, что и в первом приближении МПВ для плоской волны в турбулентной среде без масштабов (в дожде), т. е. считая, что $\sigma_{I,t}^2 \approx \beta_{0,pw}^2 \ll 1$ и $\sigma_{I,p}^2 \approx \tau \ll 1$. В этом приближении дисперсия флуктуаций интенсивности волны в случайно-неоднородной среде определяется формулой [18]

$$\sigma_I^2 = \pi k^2 z \int_0^\infty d\kappa_\perp \left(1 - k \frac{\sin \kappa_\perp z / k}{\kappa_\perp z}\right) \Phi_\varepsilon(\kappa_\perp, 0). \quad (20)$$

Подстановкой спектра (5) в формулу (20) вычисляем константу A_t :

$$A_t = \frac{\beta_{0,pw}^2}{(2\pi)^2 C_\varepsilon^2 k^{7/6} z^{11/6} f_1(\kappa_0, \kappa_m)}, \quad (21)$$

где $\beta_{0,pw}^2 = 0.31 C_\varepsilon^2 k^{7/6} z^{11/6}$ [18]; функция

$$f_1(\kappa_0, \kappa_m) = \int_0^\infty dx \left(1 - \frac{\sin x}{x}\right) (\tilde{\kappa}_0^2 + x)^{-11/6} \exp\left(-\frac{x}{\tilde{\kappa}_m^2}\right)$$

– фактор масштабов неоднородностей;

$$\tilde{\kappa}_0^2 = \kappa_0^2 \frac{z}{k} = \frac{2\pi \lambda z}{L_0^2}, \quad \tilde{\kappa}_m^2 = \kappa_m^2 \frac{z}{k} = \left(\frac{5.92}{l_0}\right)^2 \frac{z}{k}$$

– нормированные масштабы неоднородностей.

Аналогичным образом определим константу

$$A_p = \frac{\tau(L, J)}{\pi^2 k^3 C_p^2 f_2(a_m)}, \quad (22)$$

где

$$f_2(a_m) = \frac{4L}{ka_m^2} - \arctan\left(\frac{4L}{ka_m^2}\right).$$

На рис.1 показаны сгенерированные в соответствии с формулами (18)–(22) случайные наборы значений фазы на сетке с числом узлов $N = 2^{10}$ и разрешением $dx = 0.3$ мм для случаев однородной атмосферы с дождем, турбулентной атмосферы и гетерогенной среды «воздух – капли воды».

4. Обсуждение результатов

При распространении излучения в дожде на поле лазерного пучка действуют, помимо дифракционного уширения, два фактора: уширение вследствие рассеяния на каплях воды и общее ослабление при рассеянии и поглощении на дискретных частицах согласно закону Бугера [1–4]. При этом в распределении средней интенсивности пучка можно выделить два масштаба: первый из них определяется дифракцией ($a_a(L) \cong a_0(1 + \Omega_0^{-2})^{1/2}$, где $\Omega_0 = ka_0^2/z$ – френелевское число пучка), а второй

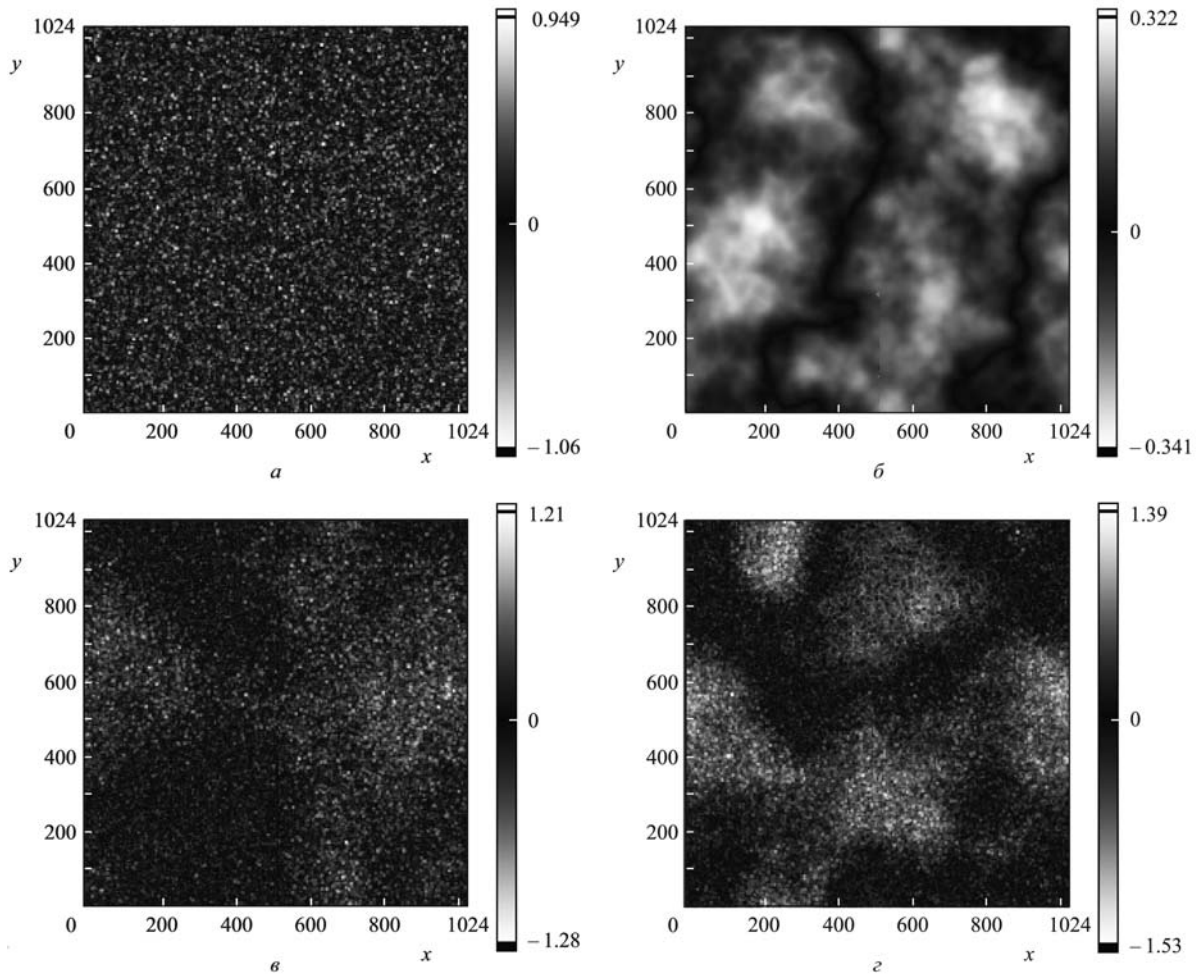


Рис.1. Вид фазовых экранов для дисперсной среды «капли дождя в однородной атмосфере» (а), для турбулентной атмосферы (в соответствии с моделью Колмогорова–Обухова (4)) (б) и для турбулентной атмосферы с дождем (в, г). Генерация экранов проведена при $\lambda = 10^{-6}$ м, $\Delta z = 30$ м, $J = 40$ мм/ч (а), $C_\epsilon^2 = 4 \times 10^{-15}$ м^{-2/3}, $l_0 = 1.2 \times 10^{-2}$ м, $L_0 = 100$ м (б), тех же условиях, что и для рис. а и б (в), а также при $J = 30$ мм/ч, $C_\epsilon^2 = 4 \times 10^{-14}$ м^{-2/3}, $l_0 = 2 \times 10^{-3}$ м, $L_0 = 100$ м и $\Delta z = 30$ м (г).

связан с размерами капель воды. На рис.2 представлены результаты моделирования и расчет средней интенсивности пучка в первом приближении МПВ, когда $\tau < 1$:

$$\frac{\langle I(\rho, z) \rangle}{I_d(\rho, z)} e^{\tau/2} = 1 - \frac{A_0}{\pi} \times \left\{ a_m^{-2} - \int_0^1 dx \exp\left(\frac{\rho^2}{4} \frac{\xi^2(x)}{a_m^2 + \beta(x)}\right) \left(a_m^2 + \beta(x)\right)^{-1} \right\}, \quad (23)$$

где

$$I_d(\rho, z) = \frac{\Omega_0^2}{1 + \mu^2 \Omega_0^2} \exp\left(-\frac{\rho^2}{a_0^2} \frac{\Omega_0^2}{1 + \mu^2 \Omega_0^2}\right) \quad (24)$$

– интенсивность пучка в отсутствие дождя (свободная дифракция);

$$\mu = 1 - z/F; \quad x = z/F; \quad \beta(x) = (2a_0k)^2(1 + \mu^2 \Omega_0^2)^{-1};$$

$$\xi(x) = 4\Omega_0 x(1 + \mu^2 \Omega_0^2)^{-1};$$

$$A_0 = \frac{\lambda \tau(L, J) z/2}{4z/ka_m^2 - \arctan(4z/ka_m^2)}.$$

Дифракционный радиус пучка $a_d(L)$ отмечен на рис.2. Здесь же представлены результаты приближенного расчета средней интенсивности пучка по формулам (14)–(17) для 20 фазовых экранов, расположенных равномерно вдоль трассы.

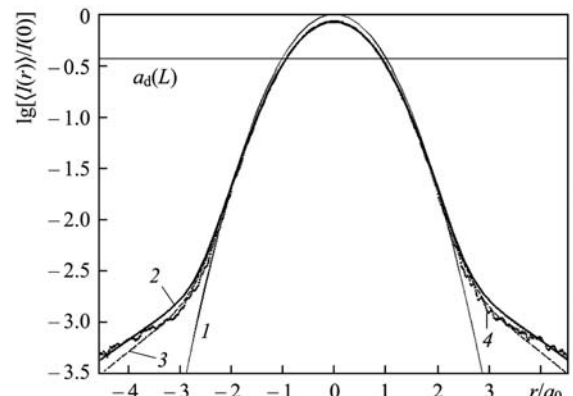


Рис.2. Средняя интенсивность коллимированного пучка радиусом $a_0 = 3$ см, распространяющегося в дожде ($a_d(L)$ – дифракционный радиус пучка в конце трассы длиной $L = 600$ м; 1 – свободная дифракция (24); 2 – формула (23); 3 – аппроксимация решений (13)–(16) для 20 фазовых экранов в первом приближении МПВ; 4 – моделирование для $\tau = 0.25$, $a_m = 0.8$ мм).

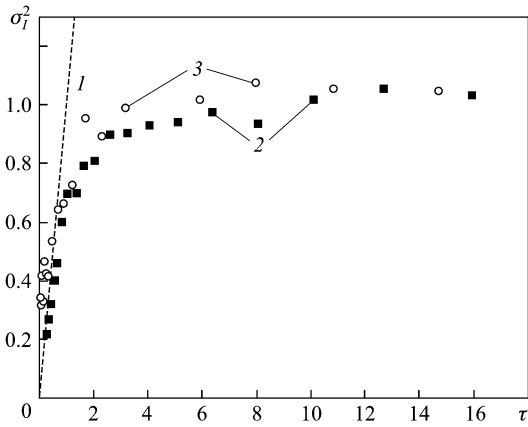


Рис.3. Относительная дисперсия флуктуаций интенсивности плоской волны в случае МПВ (1), дождя (2) и среды «воздух – капли воды» при $\beta_0^2 = 0.3$ (3).

При малых оптических толщах дисперсия флуктуаций интенсивности плоской волны определяется величиной τ [7, 9, 11, 12] (рис.3),

$$\sigma_{I,pw}^2 \simeq \tau, \quad \tau \ll 1, \quad (25)$$

как и в случае турбулентной атмосферы при $\beta_0^2 \ll 1$ [18]:

$$\sigma_{I,pw}^2 \simeq \beta_0^2, \quad \beta_{I,pw}^2 = 0,31 C_\epsilon^2 k^{7/6} z^{11/6} \ll 1. \quad (26)$$

При $\tau > 1$ величина $\sigma_{I,pw}^2$ сравнима с единицей, и при дальнейшем росте оптической толщи она стремится к единице [10, 12]:

$$\sigma_{I,pw}^2 \simeq 1, \quad \tau \gg 1. \quad (27)$$

Дополнительное влияние турбулентности на дисперсию флуктуаций интенсивности плоской волны, распространяющейся в дожде, проявляется на рис.3 как смещение зависимости 2 вдоль оси абсцисс к началу координат. Вклады турбулентных искажений и флуктуаций, связанных с рассеянием на каплях воды, в дисперсию флуктуаций интенсивности аддитивны в области $\tau < 1$ как для плоской волны, так и для ограниченного лазерного пучка (рис. 4).

Для гауссова пучка, распространяющегося в дожде, дисперсия флуктуаций интенсивности на его оси в приближении МПВ определяется формулой [9, 12]

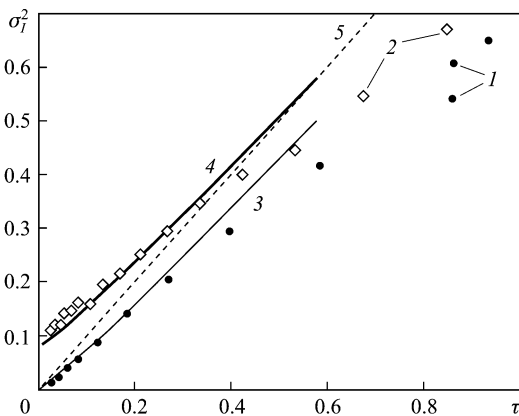


Рис.4. Относительная дисперсия флуктуаций интенсивности коллимированного пучка радиусом $a_0 = 3$ см (число Френеля $\Omega_0 = 57$) в дожде при $\tau \lesssim 1$ (1, 3) и в среде «воздух – капли воды» при $\beta_0^2 = 0.1$ (2, 4); 5 – дождь, плоская волна, МПВ (1, 2 -моделирование, 3, 4 – МПВ).

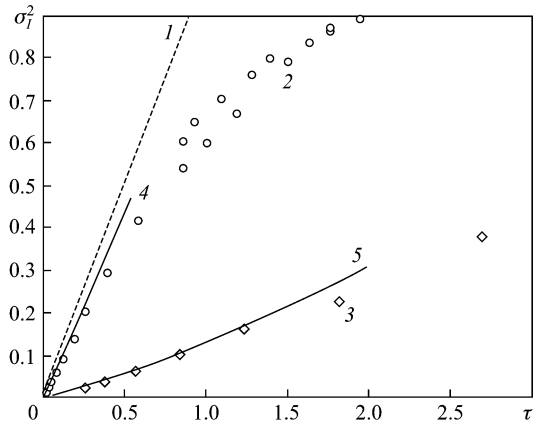


Рис.5. Относительная дисперсия флуктуаций интенсивности коллимированного пучка радиусом $a_0 = 3$ см в дожде при $\tau \lesssim 1$: плоская волна, МПВ; 2, 4 – пучок, $\Omega_0 = 57$; 3, 5 – пучок, $\Omega_0 = 5.7$ (2,3 – моделирование; 4, 5 – МПВ).

$$\sigma_I^2(z) \simeq \frac{\tau k a_0 a_m}{2z} (\mu^2 + \Omega_0^{-2})^{1/2} \times \arctan \left[\frac{2z}{k a_0 a_m} (\mu^2 + \Omega_0^{-2})^{1/2} \right], \quad (28)$$

где $\mu = 1 - z/F$; $\tau < 1$. В зависимости от числа Френеля Ω_0 пучка области (по τ) применимости формулы (28) различны. На рис. 5 представлены результаты моделирования распространения пучков с $\Omega_0 = 5.7$ и 57. Сравнение зависимостей 2, 4 и 3, 5 на рис. 5 показывает, что при малом числе Френеля формулу (28) допустимо использовать и при $\tau > 1$ (рис. 4, кривые 3, 5). С увеличением τ дисперсия флуктуаций интенсивности гауссова пучка имеет максимум при достаточно больших числах Френеля (рис. 6, зависимости 1, 3). Однако уменьшение Ω_0 ведет к исчезновению максимума (переход к режиму сферической волны, рис. 6, зависимости 2, 4).

Как уже отмечено выше, влияние турбулентности на величину σ_I^2 гауссова пучка, распространяющегося в дожде, проявляется в смещении зависимостей $\sigma_I^2(\tau)$ вдоль оси абсцисс к началу координат. Это ведет к уменьшению значений τ оптической толщи трассы, при которых дисперсия σ_I^2 пучка переходит в насыщение (стремится к единице). При этом зависимости $\sigma_I^2(\tau)$, $\sigma_I^2(\tau, \beta_0^2)$ как в отсутствие турбулентности, так и при $\beta_0^2 \sim 1$ сливаются (рис. 6).

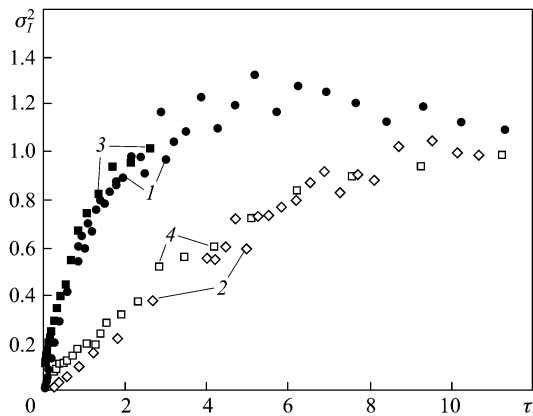


Рис.6. Относительная дисперсия флуктуаций интенсивности коллимированного пучка радиусом $a_0 = 3$ см в дожде при $\tau > 1$ (1, 2) и в гетерогенной среде «воздух – капли воды» (3, 4); $\Omega_0 = 57$ (1, 3) и 5.7 (2, 4).

5. Заключение

В работе предложена модель фазового экрана с гауссовым спектром корреляционной функции флуктуаций эффективной диэлектрической проницаемости, масштаб спектра определяется объемным медианным радиусом капель воды. Представлены результаты численного моделирования распространения лазерного пучка в дожде и в турбулентной атмосфере с осадками методом фазовых экранов. Результаты моделирования согласуются с известными теоретическими оценками средней интенсивности и дисперсии флуктуаций интенсивности пучка в приближении МПВ для обеих компонент гетерогенной среды «воздух – капли дождя».

Показано, что для малых чисел Френеля лазерного пучка область применимости результатов МПВ можно распространить на значения $\tau > 1$. В области $\tau < 1$, $\beta_0^2 < 1$ вклады турбулентных искажений и рассеяния в дожде в дисперсию флуктуаций интенсивности лазерного пучка аддитивны. Для больших чисел Френеля пучка относительная дисперсия флуктуаций интенсивности пучка имеет максимум в переходной области значений $\tau > 1$. Для обеих сред («воздух – капли воды» и только дождь) дисперсии σ_I^2 при $\tau \gg 1$ стремятся к единице и совпадают при насыщении.

1. Мак-Картни Э. *Оптика атмосферы. Рассеяние света молекулами и частицами* (М.: Мир, 1979).
2. Ван де Хюлст Г. *Рассеяние света малыми частицами* (М.: Иностранная литература, 1961).
3. Ньютон Р. *Теория рассеяния волн и частиц* (М.: Мир, 1969).
4. Исимару А. *Распространение и рассеяние волн в случайно-неоднородных средах* (М.: Мир, 1981, т. 1, 2).
5. Долин А.С. *Изв. вузов. Сер. Радиофизика*, **7** (12), 380 (1964).
6. Гурвич А.С., Покасов Вл.В. *Изв. АН СССР. Сер. Физика атмосферы и океана*, **8** (8), 878 (1972).
7. Wang Ting-i, Clifford S.F. *J. Opt. Soc. Am.*, **65** (8), 927 (1975).
8. Галахов В.Н., Ефремов А.В. и др. *Изв. АН СССР. Сер. Физика атмосферы и океана*, **12** (12), 1251 (1976).
9. Лукин И.П. *Квантовая электроника*, **6** (8), 1756 (1979).
10. Лукин И.П. *Изв. вузов. Сер. Радиофизика*, **24** (2), 144 (1981).
11. Боровой А.Г. *Изв. вузов. Сер. Радиофизика*, **25** (4), 391 (1982).
12. Миронов В.Л., Тузова С.И. *Изв. вузов. Сер. Радиофизика*, **27** (4), 535 (1984).
13. Mooradian G.C., Geller M., Stotts L.B., Stephens D.H., Krautwald R.A. *Appl. Opt.*, **18** (4), 429 (1979).
14. Coles Wm. A., Filice J. P., Frehlich R.G., Yadlowsky M. *Appl. Opt.*, **34** (12), 2089 (1995).
15. Кандидов В.П. *УФН*, **166** (12), 1309 (1996).
16. Frehlich R.G. *Appl. Opt.*, **39** (3), 393 (2000).
17. Кандидов В.П., Милицин В.О., Быков А.В., Приезжев А.В. *Квантовая электроника*, **36** (11), 1003 (2006).
18. Зуев В.Е., Банах В.А., Покасов В.В. *Оптика турбулентной атмосферы* (Л.: Гидрометеиздат, 1988).